

# お天気の見方・楽しみ方 (9)

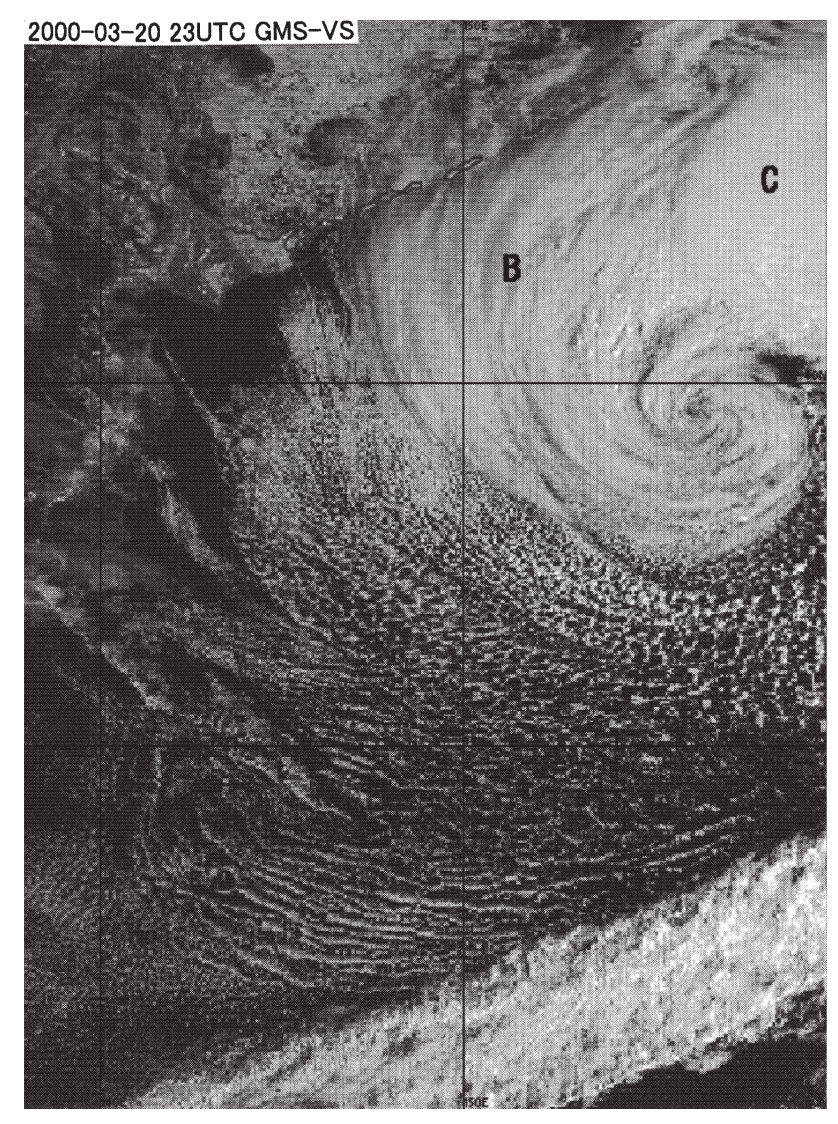
終末期の温帯低気圧

# 小 倉 義 光\*

### 1. 問題の発端

このシリーズ (7) (小倉 ほか, 2006b)の冒頭で述べ たように,二つ玉低気圧に 伴う天気は、2つの低気圧 の相互位置や強さの違いな どにより、様々である。特 に衛星雲画像で見る低気圧 の終末期に注目すると, 前 回のケースでは, 分離され た3つの雲塊が並んで瞬間 閉塞前線の雲を形成した. 今回も,日本海低気圧と南 岸低気圧が本州を挟むよう に東進した二つ玉低気圧の ケースを取り上げる。この ケースを選んだのは、たま たま第1図に示した見事な 渦巻きに魅せられたからで ある。そこに至るまでの過 程を追い,前回の瞬間閉塞 のケースとの違いを知りた い。また第1図をよくみる と、C と記号した雲塊の西 端には太陽光線の影の線が 見えていて, その西にある 螺旋状の雲域Bの上に覆 いかぶさっている. つまり,

<sup>\*</sup> Yoshimitsu OGURA, 東京大学海洋研究所。 © 2007 日本気象学会



第1図 2000年3月20日23 UTC,「ひまわり」GMS-5可視雲画像(気象庁). 記号 B, C は本文参照。

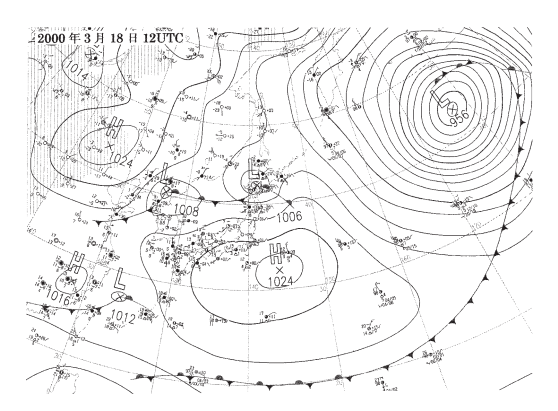
雲域 B と雲域 C は低気圧の中でも別々に発生・発達したものらしい。低気圧は渦巻きだから、らせん状の雲を作っても不思議はないが、らせん状の雲を作るまでに、台風よりもう少し複雑なプロセスがあったようだ。

その過程を追う際に気がついたことであるが、今回の南岸低気圧では、中心気圧は爆弾低気圧並みの割合で時間と共に降下しているのに、渦度の最大値は殆ど変わらないか、むしろ弱くなっているという、一見奇妙なことが見出された。低気圧の発達を表す指標として、中心気圧と渦度の最大値が使われることが多い。普通ならば、中心気圧が低下するとともに、渦度の最大値も増加するはずである。上に述べた一見奇妙な関係がどうして起こったのか、考えてみたい。

ところで、今回の主題には関係のないことであるが、第1図を見ると、千島列島南方の海上では、渦巻きの雲の下に細い筋状の雲があるのが分かる。さらに、その西方および南方の太平洋上には、細い筋状雲のほかにも、月のクレーターのような雲や、太い筋状の雲など、さまざまな形の浅い対流雲があって(浅いということは赤外雲画像では灰色に見えることで分かる)、見ていて飽きない。しかし、今回は浅い対流系には深入りしない。

## 2. 渦巻きが出来るまで

第2図が今回のケースにおいて、初期のころの地上 天気図である。朝鮮半島北部に中心気圧1008 hPaの低 気圧、東シナ海に1012 hPaの低気圧があるから、立派 な二つ玉低気圧である。時間を遡ると、東シナ海の低 気圧は12時間前の3月18日00 UTCには、華南で東西

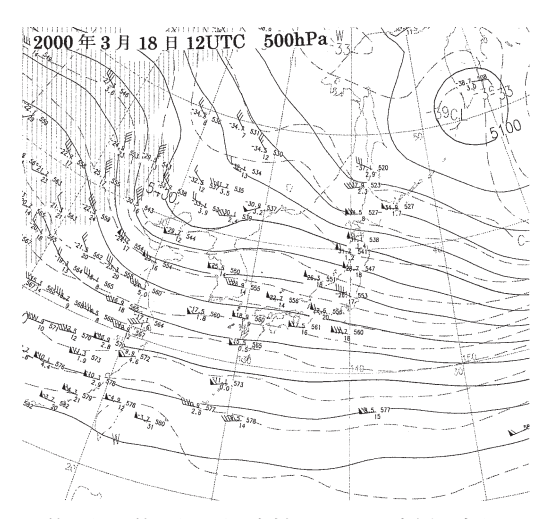


第2図 2000年3月18日12 UTCの地上天気図 (気象庁)。

方向に延びる停滞前線から発生したものである。第3 図が第2図と同時刻における500 hPa の高層天気図である。中国東北部から華北にかけて短波のトラフがあるが、振幅は比較的小さく、トラフとサーマル・トラフの位相が接近しているので、傾圧不安定による今後の急速な発達は望めない。前回の二つ玉低気圧のケースでは、亜熱帯ジェットが大きな役割をしたが、300 hPa 高層天気図によると(図省略)、今回の亜熱帯ジェット・ストリークは、160/ットの速さを持っているものの、はるか東、160~170°Eに位置している。

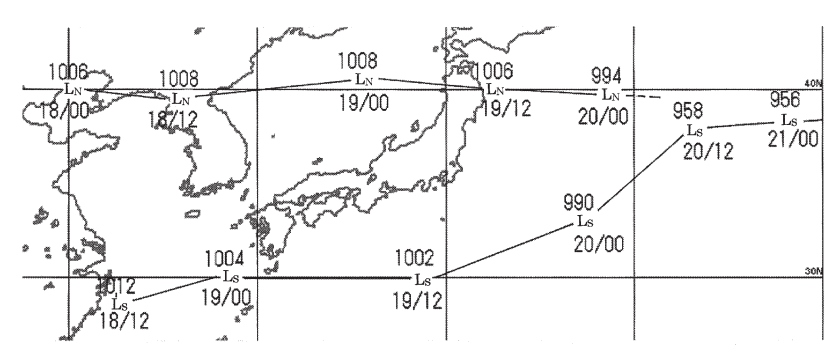
第4図は今回の二つ玉低気圧の中心気圧と中心位置 の推移を示す。北側の低気圧 (Lx記号) は日本海を横 断し本州東方海上を東に進む日本海低気圧であるが、 あまり発達しない。一方,南側の低気圧(L<sub>s</sub>)は本州 の南岸に沿って進む南岸低気圧であるが, 進路を北東 に転じる19日12 UTC ころから急激に発達し始める。 殊に20日00 UTC から次の12時間には32 hPa も中心 気圧は下がり、20日06 UTC には日本海低気圧を吸収 してしまう。この終末期の低気圧が位置するカム チャッカ半島南方海上は,直接の気象観測データが少 ない区域であり、数値予報モデルもデータの同化技術 も今日ほど進んでいなかったから、この12時間で32 hPa という中心気圧の低下が量的にどれだけ正しい のか分からない。しかし、低気圧が北東方向に進行中 に中心気圧の急激な低下が起こったことは興味があ り、後で議論しよう。

次に、 渦巻きが形成されるまでの経過を衛星雲画像

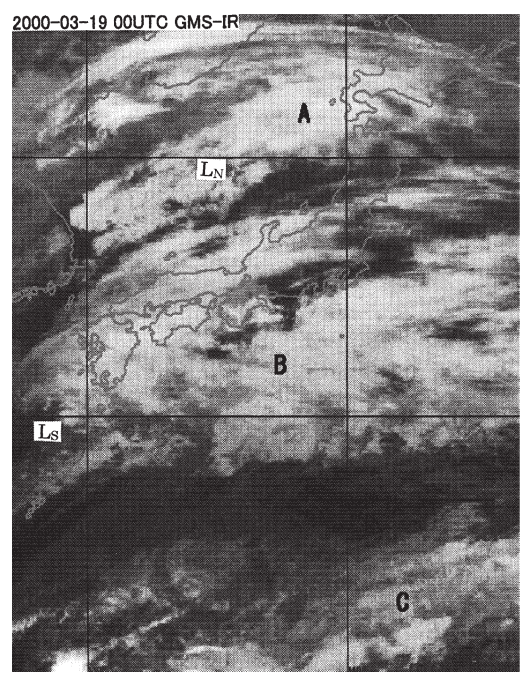


第3図 第2図と同時刻の500 hPa高層天気図 (気象庁).

"天気"54.3.



第4図 2000年 3 月18日00 UTC から21日00 UTC までの期間,12時間毎,二つ 玉低気圧の高緯度側の日本海低気圧( $L_N$ の記号)と低緯度側の南岸低 気圧( $L_S$ )の中心位置と中心気圧 (hPa) (気象衛星センター SATAID)。



第5図 2000年 3 月19日00 UTC における気象衛星 (GMS-5) 赤外雲画像、 $L_x \ge L_s$ はそれぞれ日本海低気圧と南岸低気圧の地上中心位置、雲域 A, B, C については本文参照、

で追っていく。第5図が19日00 UTC における赤外雲 画像で、それぞれA、B、Cと記号した雲域がある。雲 域Aは日本海低気圧に対応するもので、低気圧は温暖 前線と寒冷前線を備えているので、雲も低気圧中心の 両側にある。これに反して、南岸低気圧では雲域Bは 主に低気圧中心の東側のみに広がっているのが特徴である(本シリーズ(2),小倉ほか,2005).雲域Cはアリューシャン列島の南方海上に達した先発の低気圧から延びた停滞前線に伴うもので、層状及び対流性の雲から成る.

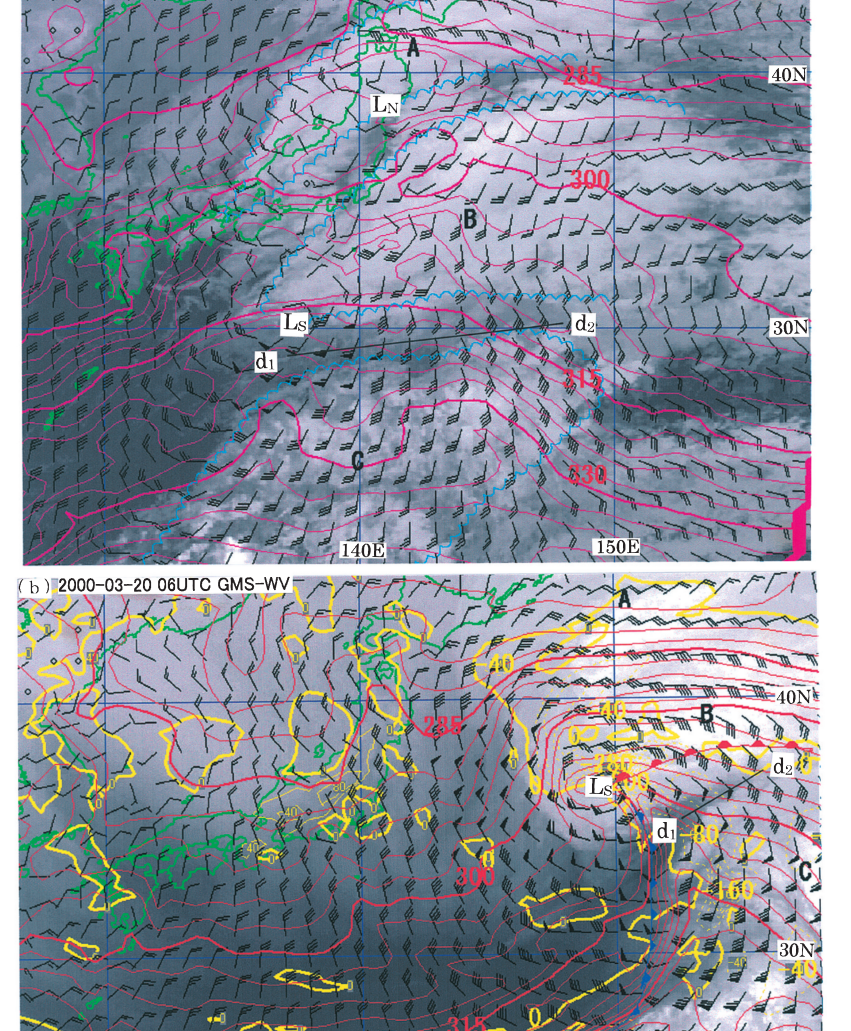
この時刻から12時間後の 19日12 UTC における赤外 雲画像に、925 hPa におけ る相当温位と風の分布を重 ねたのが第 6 図 a である。

第6図bに示した18時間後の20日06 UTCまでには,低気圧  $L_N$ は既に低気圧  $L_S$ に吸収されてしまい,気象庁の印刷天気図にも,唯一つの低気圧の中心が解析されている.雲域 A も雲域 B と併合している.しかし,雲域 B と C の間には,多少ぼやけているが,依然として隙間  $d_1-d_2$ が残っている.乾燥慣入 (dry intrusion) に伴う下層の乾いた空気は  $d_1$ の位置にまで到達しているので, $d_1$ をドライ・スポットと見てよい.

そう見れば、雲域 B は Bader et~al. (1995) のガイド・ブックに頻繁に出てくる「頭雲(cloud head)」と似たものとなる。頭雲とは、「ドライ・スポットの高緯度側に位置し、明瞭な凸状の境界を持つフック状の雲。主要な寒帯前線バンド状の雲より高緯度に位置し、斜めの上昇運動(slantwise ascent)に伴う」(Browning and Robert, 1994)ものである。こう定義された「頭雲」については、今回は詳しく述べない。要は、この時刻以降、第6図bの雲域 B の雲がフック状となり、ドライ・スロットにある乾燥空気を巻き込んで、急速に第1図に示したらせん模様の雲が出来ていくことである。

また,第6図bには700hPaにおける鉛直p速度も示してある。雲域Cの先端西部には最大-160hPa/h

(a) 2000-03-19 12UTC GMS-IR



第6図 (a) 2000年3月19日12 UTC における衛星赤外雲画像と925 hPa の風(長い矢羽が10ノット)と等相当温位線(5 K 毎)。その他の記号は第5図と同じ。(b) 3月21日06 UTC における衛星水蒸気画像に重ねた925hPa の風と相当温位と700 hPa の鉛直 p 速度 ω(黄色, 40 hPa/h 毎,破線は負の値)。d₁-d₂は雲域 B と C の間の隙間を示す。

の上昇流がある。ここで背の高い雲が発達して、第1図の雲Cとなる。さらに、低気圧の中心付近には-280hPa/hの上昇流もあるが、これは低気圧の全生涯を通

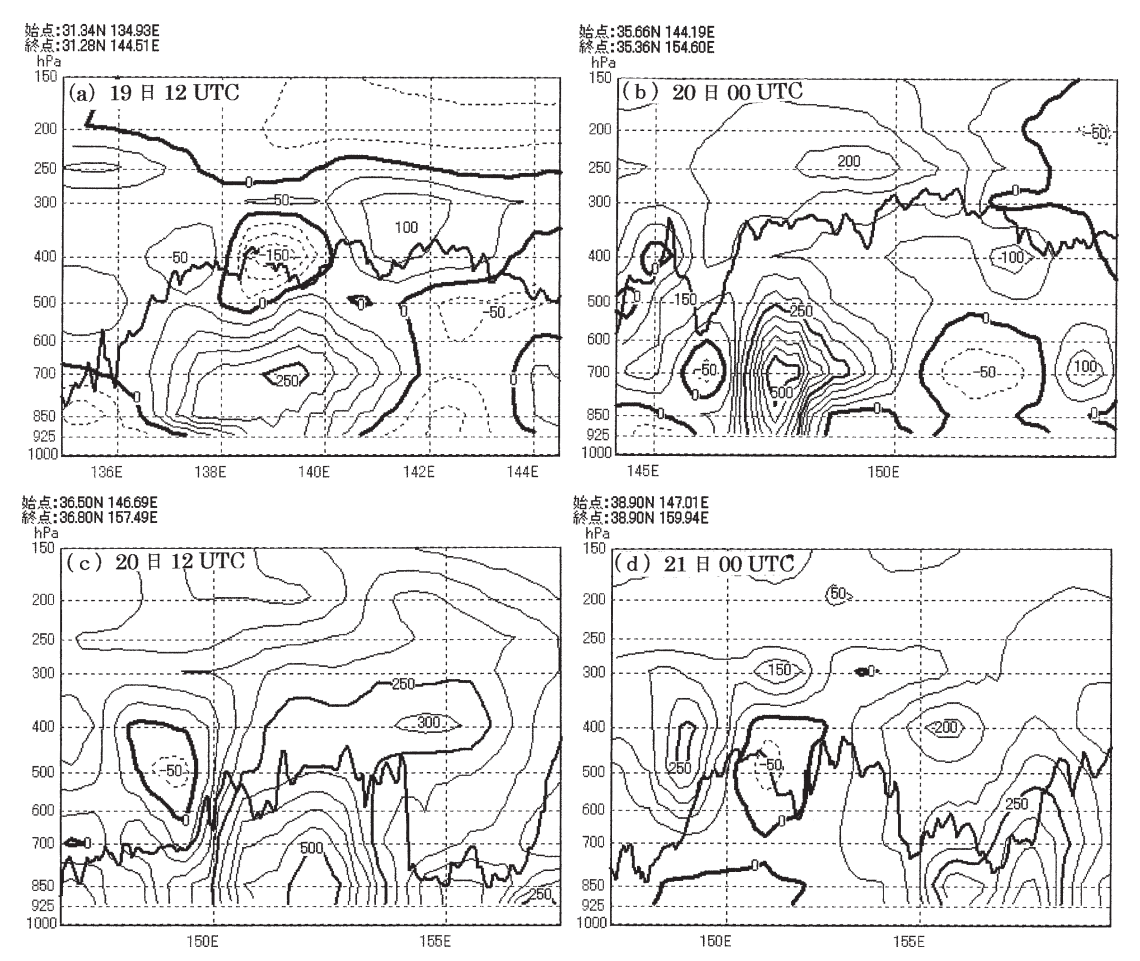
じて最大の値であり、この 時刻以降は減衰していく.

# 3. 渦度で見る低気圧の 発達

第7図は19日12UTCか ら12時間毎に、700 hPa に おける渦度の水平分布を眺 めて, その局所的最大値の 地点(当然ながら南岸低気 圧の中心近くにある)を通 る東西方向の鉛直断面上 で、 渦度の分布を示したも のである。発達初期の19日 12 UTC には (第7図a), 渦度の極大値は250×10-6/ s であり、正の渦度は約500 hPa以下にしか存在しな い。それから12時間以内に 上層のトラフとカップルし て 渦 度 の 最 大 値 は500× 10-6/s に増大すると共に、 対流圏界面に至るまで正の 渦度となっている(第7図 b). 雲頂高度も300 hPa に 達している。 渦度から見る と、この時刻(20日00 UTC) あたりが最盛期であ る. 事実, それから12時間 経った第7図cの20日12 UTC では、最大値は500× 10-6/sを維持しているも のの,以前には中心に集中 していた渦度は拡散し、最 大値も海面近くに存在する ようになってしまう、雲域 Bの雲頂高度も時間と共に 下がって行き, 高々500 hPa である.

参考までに,この時刻(20 日12 UTC)の300 hPa の天

気図が第8図である。特徴は、①トラフの軸(トラフライン)の傾きが負(トラフラインが北西から南東の方向)。②トラフよりサーマル・トラフが先行してい



第7図 700 hPa 面における渦度の局地的極大地点を通る東西鉛直断面上の渦度分布. 等値線の間隔は50×10<sup>-6</sup>/s. 破線は負の値. 太い実線は輝度温度から推定した雲頂高度. (a) 19日12 UTC, (b) 20日00 UTC, (c) 20日12 UTC, (d) 21日00 UTC.

る. ③ トラフのほぼ真下に地上の低気圧がある. これらは, 典型的な終末期の低気圧の特徴である. さらに, トラフはジェット気流軸の高緯度側にある.

上に述べた構造と対比すると、本シリーズ (4) (小倉ほか、2006a)で述べた日本海低気圧の構造は、次のように大きく違う。① 渦巻きは対流圏界面付近まで直立し、渦度の最大は420 hPa あたりにある。② 渦巻きの中心はジェット気流軸の低緯度側にある。このため、ジェット気流軸の低緯度側では広い範囲にわたって大気が順圧性を示していた。

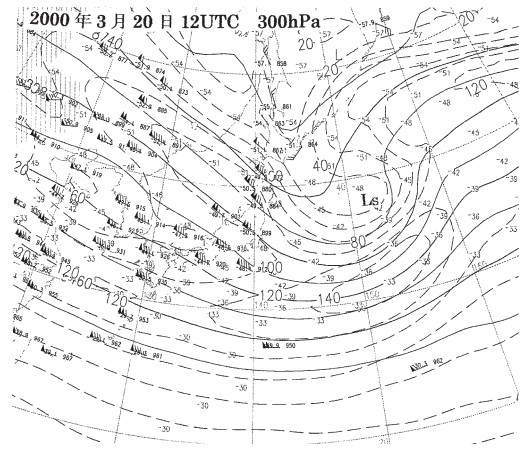
最後に,第7図dは第1図とほぼ同時刻であり,中心に巻き込む見事ならせん状の雲は中層雲であることが分かる。正の渦度はますます海面付近にうずくまっ

てしまう.

それにしても,第7図に示した渦度の時間変化は少しおかしくないか。第4図に示した低気圧 $L_s$ の時間変化では,20日00 UTC以降に中心気圧はますます下がっていた。それと共に風が強くなり,渦度も強くなるのではないだろうか。

### 4. 中心気圧で見る低気圧の発達

それでは海面における低気圧中心気圧の低下は、どのようにして起こったか見よう。静水圧平衡を仮定すれば、ある地点の海面における気圧は、それより上にある空気の重さに等しい。一方、空気の状態方程式は

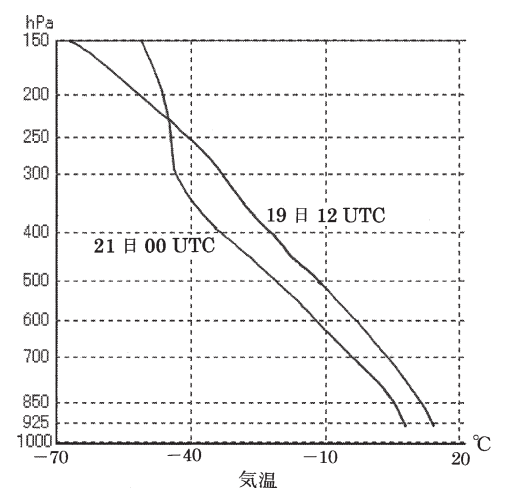


第8図 2000年 3 月20日12 UTC における300 hPaの高層天気図 (気象庁).

#### $p = \rho R T$

と表現される。 $\rho$  は圧力、 $\rho$  は密度、R は空気の気体定 数、T は絶対温度で表した温度である。従って、等圧 面上では密度は温度に逆比例する。第9図では、縦軸 に高度として気圧を採り、36時間を隔てた2つの時刻、 19日12 UTC と21日00 UTC において, 低気圧中心に 最も近い格子点における気温の鉛直分布を比較してい る. まず, 19日12 UTC には, 地上低気圧の中心はほぼ 31°N にあり、気温は150 hPa の高度に至るまで、高度 と共にほぼ一様に減少している。一方, この期間に低 気圧は北に移動したので,21日00 UTC には,36時間前 に比べて対流圏内では気温は低下しているのは不思議 ではない、そうすると、対流圏内の各高度では、より 重い空気が低気圧中心を占めたから、低気圧中心の地 上気圧は当然上昇すべきである。ところが現実には中 心気圧は低くなっている。その大きな理由は、第9図 が明瞭に示すように、約230 hPa より上の層では、温度 が36時間前より逆に高くなったからである。

どうしてそうなったかは、第10図に示した20日12 UTC における低気圧中心を通る南北方向の鉛直断面上で、温度の分布を見ると分かる。すなわち、低気圧中心は、対流圏界面の高さが急減に減る中緯度に突入していたのである。平均的にいえば、対流圏界面より少し上の成層圏下部では温度はほぼ一様である。さらに上の層では高度と共に高くなる。第10図で200 hPaより上で高度と共に温度が多少減少しているのは、た



第9図 2000年 3 月19日12 UTC と21日00 UTC における低気圧中心地点上空の 気温高度分布の比較.

またまそうなっているに過ぎず,成層圏内の空気が同じ高度でより低緯度にある対流圏内の温度より高いことには変わりない。

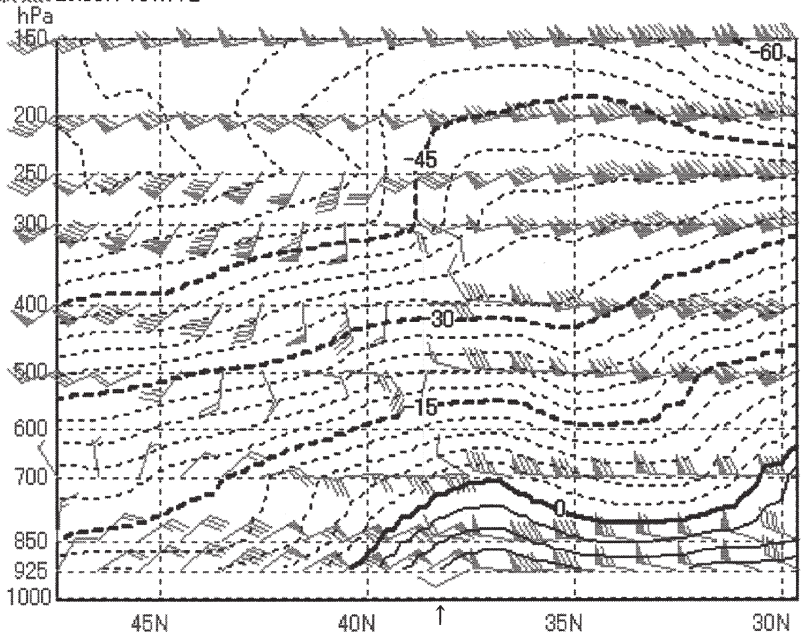
また,第10図に示した風の分布を見ると,200~300 hPaの層においては,渦の中心から数百 km離れた低緯度側に,160ノットを越す亜熱帯ジェットの軸があることもわかる。このことも,上に引用した本シリーズ(4)の日本海低気圧との違いである。

そうはいっても、平均状態で見ると、例えば250 hPa における空気の密度は地表のそれの約1/3くらいしかない。それより上の薄い空気層の温度が高くても、対流圏内の濃い空気層が低温になったのを補って余りあり、地上の気圧を低くしているとは、にわかには信じられないかもしれない。その説明には少し数式が必要であり、小倉(2000)を参照していただきたい。

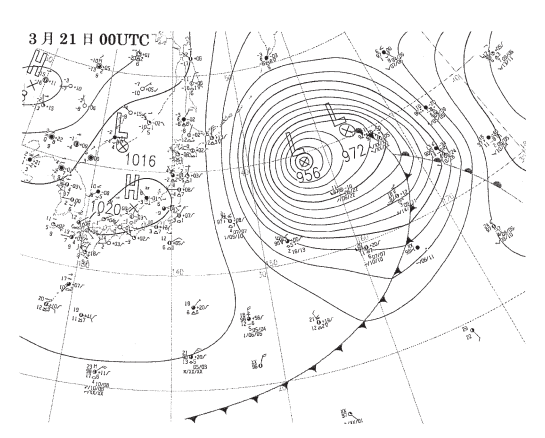
さらに、低気圧は周囲より気圧が低い区域と定義されているから、低気圧よりスケールの大きい場の気圧が低い場所に低気圧が移動すれば、低気圧中心の気圧も低く見えるということもある。

前節の最後では、低気圧中心の気圧が下がれば、中心付近の渦度も増すのではないかと述べたが、実際には、いつもそうとは限らない。第11図は第1図とほぼ同時刻の21日00 UTC における地上天気図である。渦巻きの中心付近に、気圧の極小値が2つ解析されているという見慣れない天気図であるが、それはさておき、この天気図を示したのは、低気圧の大きさを強調する

2000-03-20 11:39UTC 始点: 47.54N 151.84E 終点: 29.60N 151.77E



第10図 2000年3月20日12 UTC, 地上低気圧の中心を通る南北鉛直断面上の気温(5°C毎)と風の分布。長い矢羽は10ノット。 横軸上の矢印は地上低気圧の中心の位置を示す。



第11図 2000年3月21日00 UTC における地上天 気図 (気象庁).

ためである。閉じた等圧線の大きさは3000 km 近くもある。第2図に示した先行する太平洋上の低気圧も同じ程度の大きさである。これらは、例えば本シリーズ(4)(小倉ほか、2006a)の第1図で示した日本海低気圧に比べれば、倍近い大きさである。中心気圧が低ければ、いつも風が強いというものではない。

#### 謝辞

本稿について有益なコメントを下さった担当編集委員別所康太郎氏と査読者に 謝意を表したい。

# 参考文献

Bader, M. J., G. S. Forbes, J. R. Grant, R. B. E. Lilley and A. J. Waters, 1995: Images in Weather Forecasting,

A practical guide for interpreting satellite and radar imagery, Cambridge Univ. Press, 499pp.

Browning, K. A. and N. M. Roberts, 1994: Structure of a frontal cyclone, Quart. J. Roy. Meteor. Soc., 120, 1535–1557.

小倉義光,2000:総観気象学入門,東京大学出版会,289 pp

小倉義光,加藤輝之,高野 功,2005:お天気の見方・ 楽しみ方(2),南岸低気圧の発生,天気,**52**,869-876。

小倉義光,西村修司,隈部良司,2006a:お天気の見方・楽しみ方(4),春の嵐を呼ぶ日本海低気圧,天気,53,319-329.

小倉義光,西村修司,隈部良司,2006b:お天気の見方・楽しみ方(7),二つ玉低気圧(その1),天気,**53**,889-894.